

東海大学 正員 森田定市

・ 太田正彦

・ ○本間重雄

### 1. まえがき

地下水位の高い透水性地盤において建設工事を行なう場合、ドライワークを可能にするために地下水位を低下させることがあるが、地下水位の低下が広範囲に及ぶことによつて周辺の地域に井戸枯渇や地盤沈下などの建設公害がしばしば発生している。この様な建設公害の防止する工法の一つとして揚水地点の近傍に注水することによる地下水位低下の範囲を限定するいわゆる“復水工法”が有望視えらえている。

筆者らはこの復水工法の効果を研究するため2次元砂モデルを使って復水を伴う揚水実験を実施した。実験は目下継続中であるが、現在までの実験結果揚水時の地下水水面形状に与え復水の影響について若干の考察を加え報告する。

### 2. 実験概要

#### (1) 実験装置

実験装置は長さ3.0m、高さ1.0m、幅60cmの鋼製水槽で前面には強化ガラスを底面及び背面には格子状にピエゾメーターを設置してそれらを直接視認による水位観測及び砂層各部におけるボテンシャル測定を可能にしている。

復水は設置位置、設置深さ(復水井の貫入深度)を自由に変化させることができる幅4.0cmのステンレスメッシュ張り中間スリットを通じて行なう。

充填試料は $D_{max} = 2.0\text{mm}$ ,  $D_{50} = 0.73\text{mm}$ ,  $D_{10} = 0.35\text{mm}$ , 均等係数2.09の川砂である。

図-1は実験装置の全体構成を模式的に示したものである。

#### (2) 実験ケース

実験ケースは給水側水位 $H_1$ は一定とし揚水側水位 $h$ 、復水井の位置 $L_r$ 、復水井の貫入深さ $D_r$ 、復水位置での維持水位 $H_r$ を実験変数とし下記のとおりに変化させ251ケースを設定した。

$$L_r: 103, 63 \text{ cm}$$

$$D_r: 70, 52.5, 35, 17.5 \text{ cm}$$

$$H_r: 70, 65, 60, 55, 45 \text{ cm}$$

これらの場合にあつて設定した条件が保たれるよう定量揚水と復水を行ない定常状態にありつゝ時点で揚水量 $Q_u$ 、復水量 $Q_r$ 、地下水水面形、およびピエゾメーターのボテンシャル指示値を観測した。

### 3. 実験結果及び考察

#### (1) 復水時の水面形状及び流線網の特徴

実験の結果得られた水面形は復水位置において曲率が不連続になるものの全部のケースにおいて上に凸の放物線形を示した。図-2の(a)は $H_r$ ,  $h$ ,  $L_r$ ,  $D_r$ を固条件とする実験ケースのうち $H_r$ をそれぞれ55.0, 65.0cmにしたケースの流線網を対照して示したものである。図-2の(b)にみられるように $h$ が小さい場合には復水井の前後にあける流線網の変化は少なく水面形状も復水を伴なう限り単純揚水時の水面形に近い。図-2の(c)のように $h$ が $H_r$ に近いケースの場合では復水井前後の流線の変化は著しく上流側では流れが停滞し下流側で

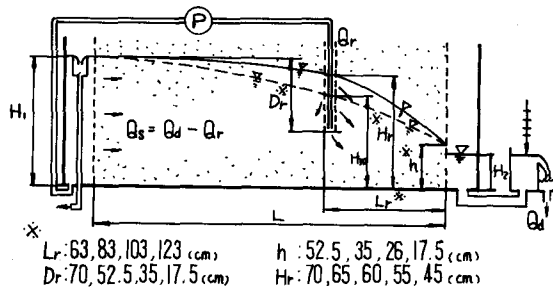


図-1

は流速が増大する様子がうかがわれる。

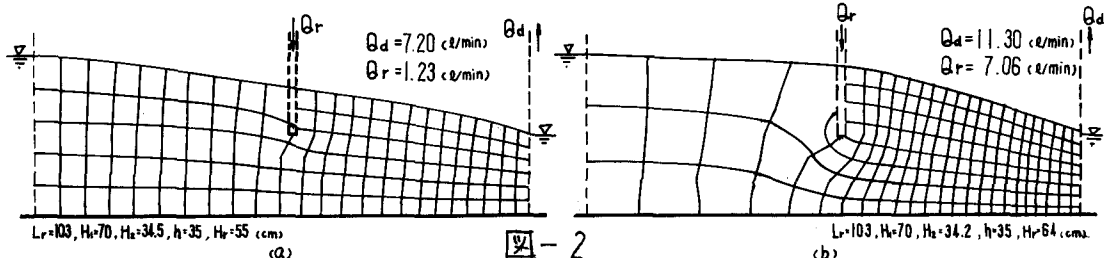


図-2

### (2) 復水に伴なう揚水量の変化

図-3は、単純揚水時( $Q_r=0$ )における得られた揚水側水位 $h$ ( $h/H_1$ で表示)と揚水量 $Q_d$ の関係を示したものである。図-4および図-5は、復水位置 $h$ がそれぞれ $63\text{cm}$ 、および $103\text{cm}$ の場合の復水位 $H_r$ ( $H_r/H_1$ で表示)と揚水量 $Q_d$ ( $Q_d/Q_{do}$ で表示)の関係並びに $H_r/H_1$ と復水量 $Q_r$ ( $Q_r/Q_{do}$ で表示)の関係を示したものである。これにより $Q_d$ 、および $Q_r$ は、離水水位 $h$ に対しても直線的に増加し $H_r$ を $H_1$ に保つ場合には、 $h$ にはば関係なく $L_r = 63\text{cm}$

で、 $Q_d = Q_r \div 3Q_{do}$ ,  $L_r = 103\text{cm}$ で、 $Q_d = Q_r \div 2Q_{do}$ の値に収斂することが観察された。 $H_r/H_1 = 1.0$ のときの $Q_d$ の増加傾向は、 $h/H_1$ に対しても図-6に示すような関係がみらわれる。

又、 $L_r = 103\text{cm}$ の場合 $Q_d$ ,  $Q_r$ に復水井の貢入率の影響をしき傾向が現われているが、実験誤差の可能性もあるので今後更に確かめたい。

(3) 復水時の水面形 復水時の水面形は、復水位置より離水側では単純揚水時より後勾配となり、揚水側では急勾配となる。119の部分も上に凸の放物線形を呈していいため水面形を  $y = a_0x^2 + a_1x + a_2$  (ここに  $y$ : 水位,  $x$ : 給水源からの水平距離)なる代数式に近似してみると非常によく相関性を示した。水面形の曲率を支配する $x^2$ の係数 $a_0$ の流量に対する変化をみたると復水位置より上流復水部分では、 $a_0$ は、 $Q_d = Q_d - Q_r$  の値に対しても、下流側部分では $Q_d$ に対しても、それそれべき乗的関係を示すことが明らかとなった。図-6は、その1例として復水井が完全貢入時で  $H_r = H_1$  のときの $a_0$ を $Q_d$ についてプロットしたものである。これは 第3回国土木学会に発表した単純揚水時の $a_0$ と $Q_d$ の関係に非常に類似している。以上のような傾向を利用して復水時の水面形を簡単な代数式を使って近似表現しうる可能性がある。

### 4. あとがき

本研究を行なうにあたり指導を下さった日本大学 最上教授、ならびに 東海大学 稲田教授に深く感謝いたします。

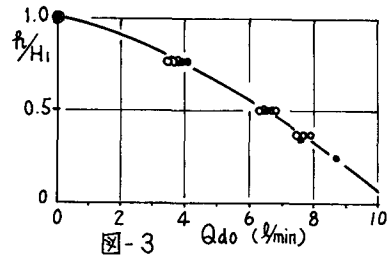


図-3

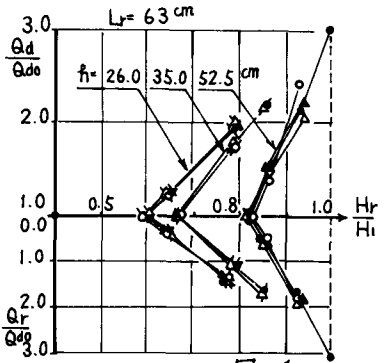


図-4

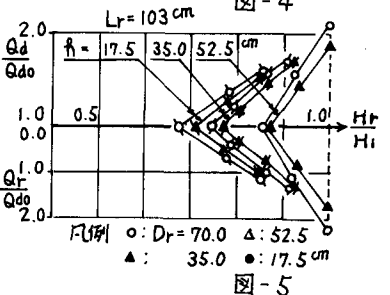


図-5

